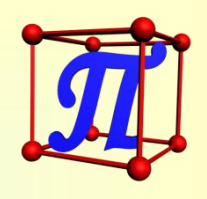
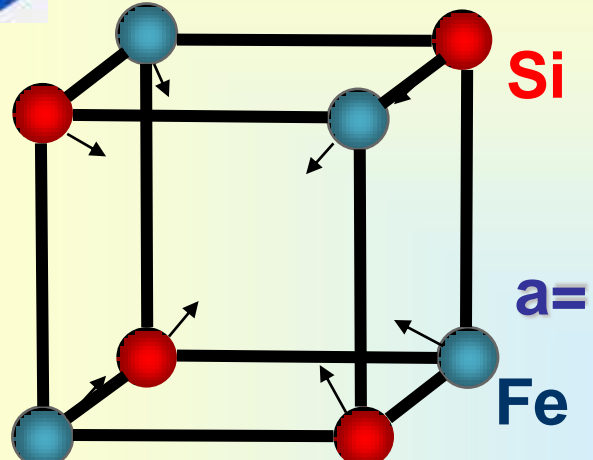
# ВЛИЯНИЕ ТЕМПЕРАТУРЫ И ДАВЛЕНИЯ НА ФОНОННЫЙ СПЕКТР УЗКОЩЕЛЕВОГО ПОЛУПРОВОДНИКА FeSi.

П. П. Паршин<sup>1</sup>, П.А. Алексеев<sup>1,2</sup>, К.С. Немковский<sup>3</sup>, J. Perßon<sup>4</sup>, Л. Дубровинский<sup>5</sup>, А. Кантор<sup>6</sup>, А.И. Чумаков<sup>5,1</sup>, R. Rüffer<sup>5</sup>,

- <sup>1</sup> Национальный исследовательский центр «Курчатовский институт», 123182, Москва, Россия.
- <sup>2</sup> НИЯУ «МИФИ», Каширское ш. 31, 115409 Москва, Россия.
- <sup>3</sup> Jülich Centre for Neutron Science, Forschungszentrum Jülich GmbH, Outstation at MLZ, Lichtenbergstraße 1, 85747 Garching, Germany.
- <sup>4.</sup> Jülich Centre for Neutron Science JCNS and Peter Grünberg Institut PGI, JARA-FIT Forschungszentrum Jülich GmbH, 52425 Jülich, Germany.
- <sup>5</sup> European Synchrotron Radiation Facility, BP220, 38043 Grenoble, France.
- <sup>6</sup> Bayerisches Geoinstitut, Universität Bayreuth, Germany.

### Кристаллическая структура FeSi

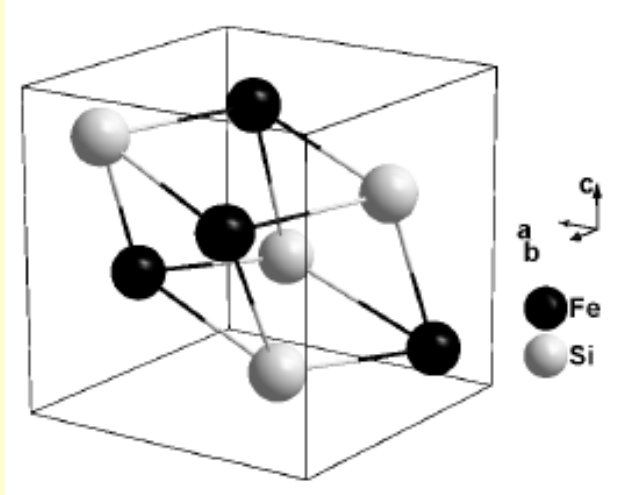




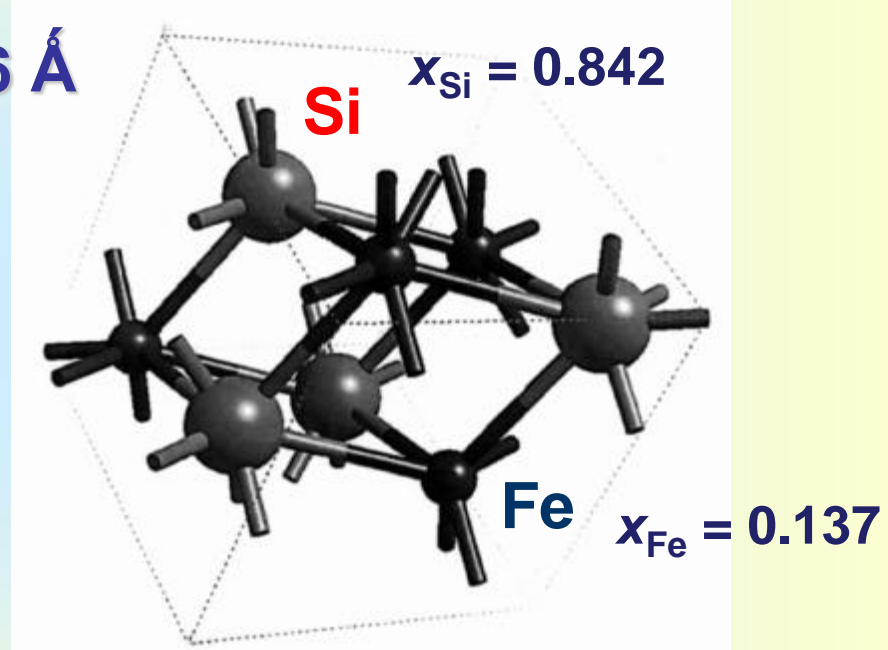
Четыре атома Fe и четыре атома Si в позициях 4a с координатами (x,x,x); (1/2+x, 1/2-x, -x); (-x, 1/2+x, 1/2-x); (1/2-x, -x, 1/2+x).

a= 4.486 Å

**Исходная структура NaCl** 



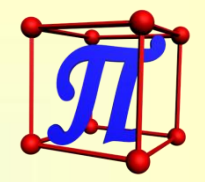
Кубическая ячейка FeSi с восемью атомами,  $P2_13$ 



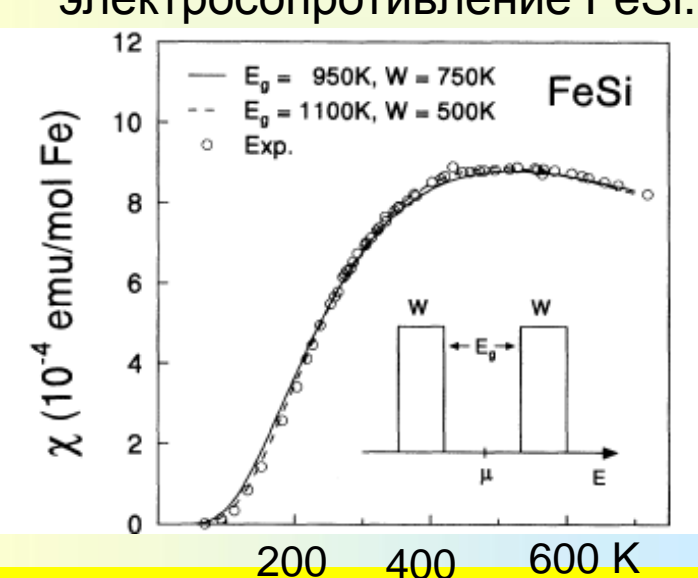
Каждый атом имеет в окружении 7 атомов другого элемента на расстояниях  $R_1$ = 2.29 Å (1 атом),  $R_2$ = 2.34 Å (3 атома),  $R_3$ = 2.52 Å (3 атома) и шесть атомов того же элемента на расстоянии  $R_4$ =2.7 Å



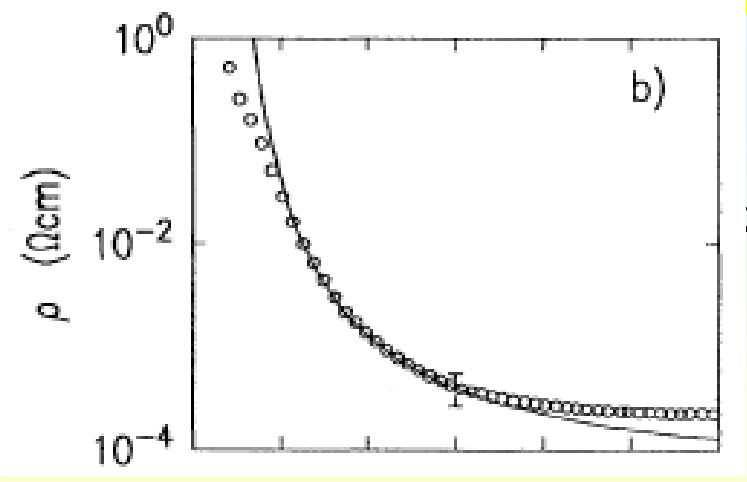
### Физические свойства FeSi



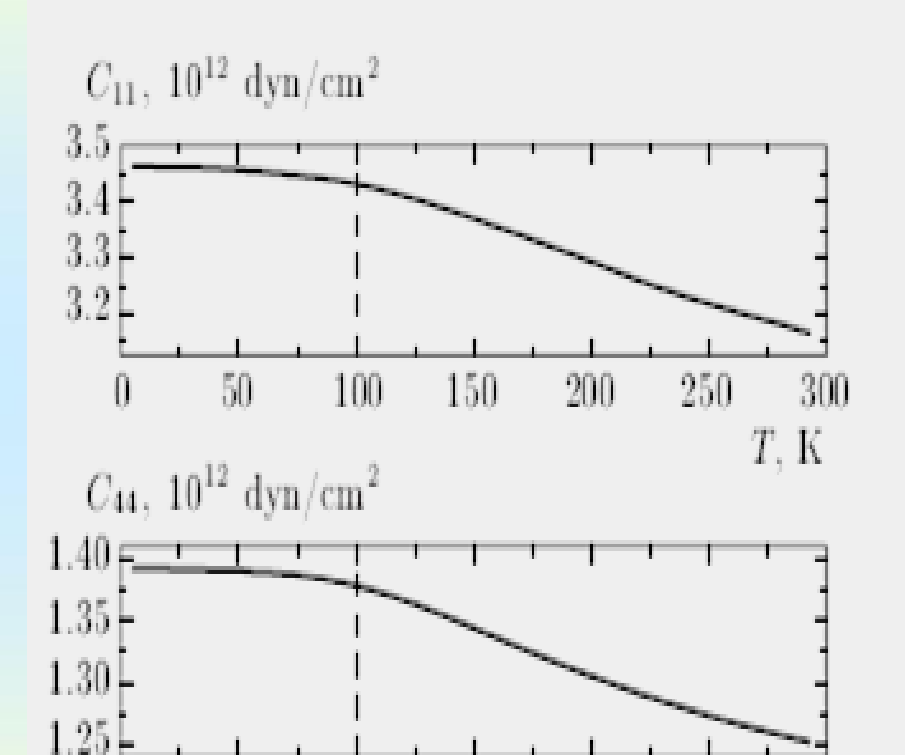
Магнитная восприимчивость и электросопротивление FeSi.



I.V. Jaccarino et. al., Phys. Rev., 160, 176 (1976)



Температурные зависимости упругих модулей FeSi.



А.Е. Петрова и др., ЖЭТФ, 138, вып. 3(9), 482 (2010)

150

100

50

300

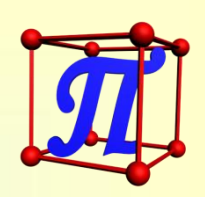
T. K

250

200



### Фотоэмиссионная спектроскопия щели в электронном спектре FeSi.



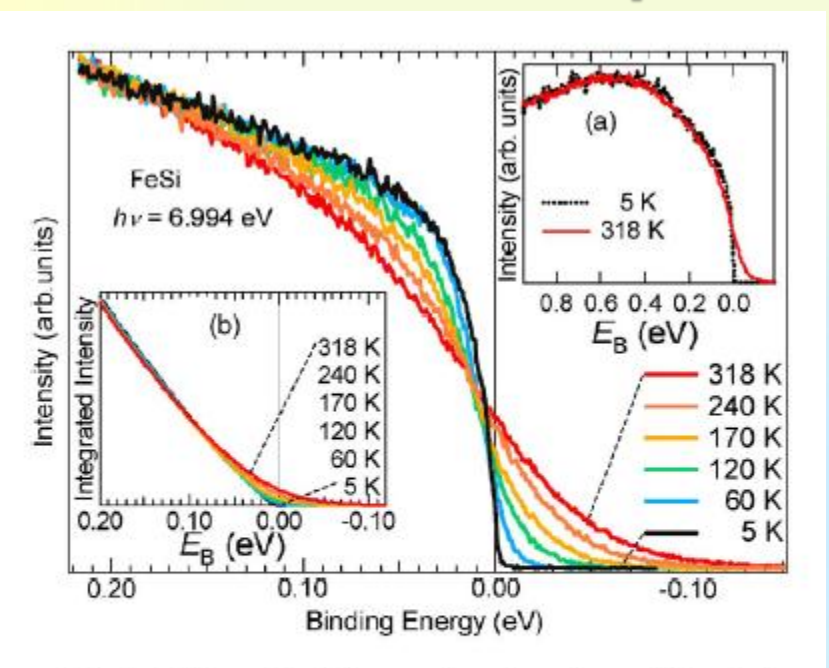


FIG. 1. (Color online) Temperature dependence of the photoemission spectrum  $I(E_{\rm B})$  for FeSi. Inset (a) shows the spectra in a wider energy region ( $-0.2 \le E_{\rm B} \le 0.9$  eV) for the lowest (5 K) and highest (318 K) temperature. Inset (b) shows the integrated intensity  $S(E_{\rm B}) = \int_{-0.18}^{E_{\rm B}} \frac{1}{10.08} \int_{-0.18}^{E_{\rm B}} \frac{1}$ 

Фотоэмиссионные спектры FeSi, измеренные при различных температурах.

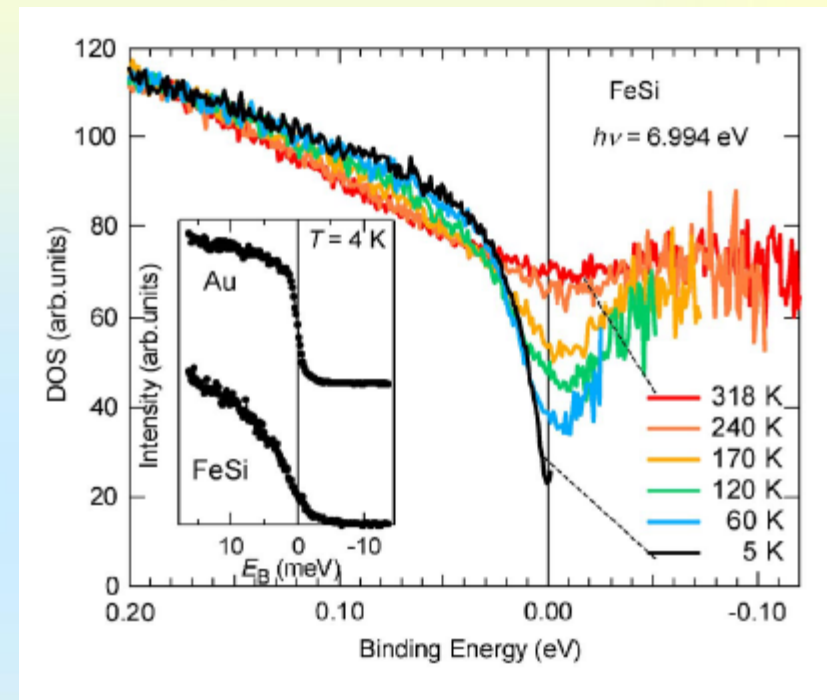
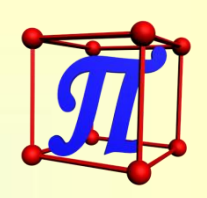


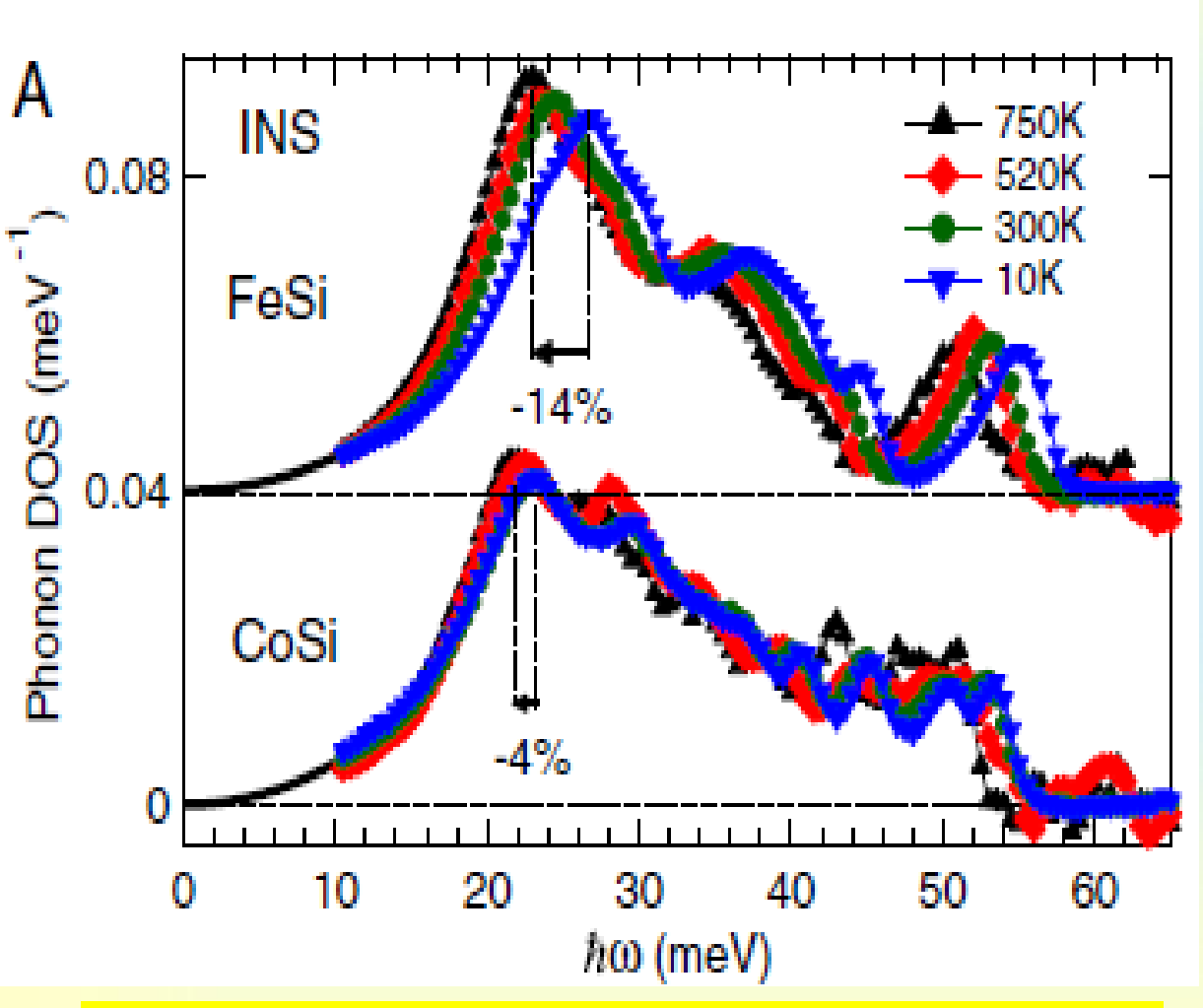
FIG. 2. (Color online) Photoemission spectrum of FeSi divided by resolution-convoluted Fermi-Dirac function for respective temperature, which represents the density of states. The inset shows the photoemission spectrum of FeSi together with Au at 5 K, measured with a higher energy resolution ( $\Delta E = 1.3 \text{ meV}$ ).

Плотность электронных состояний в FeSi вблизи уровня Ферми.



# Нейтроно-взвешенные спектры тепловых колебаний FeSi и CoSi



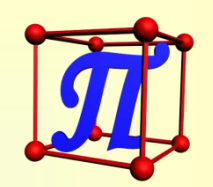


Нейтронный спектрометр по времени пролета SNS Oak Ridge  $E_0 = 100$  мэВ  $\Delta E = 1.5 - 3.2$  мэВ.

При ħω<10 мэВ аппроксимация спектра Дебаевской зависимостью DOS~E<sup>2</sup>

Считается, что с повышением температуры амплитуда тепловых колебаний атомов становится настолько большой, что возникающий «тепловой беспорядок» в расположении атомов приводит к закрытию щели в электронном спектре.





Изучить влияние на формирование силового межатомного взаимодействия в FeSi, как изменения атомного объема, так и степени теплового беспорядка в системе. С этой целью динамика атомов железа в узкощелевом полупроводнике FeSi исследована в зависимости от двух параметров: температуры и давления. В частности, в диапазоне температур 46 – 297 К при Р=0 и в диапазоне давлений 0.49 – 43 Гпа при Т=297 К впервые с достаточно высоким разрешением по энергии получены экспериментальные данные об эволюции парциального спектра тепловых колебаний атомов железа.

Метод: Ядерное резонансное неупругое рассеяние синхротронного излучения.

### Образец

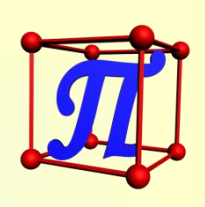
Моносилицид железа FeSi, обогащенный по изотопу  $Fe^{57}$  до 94.5%. Образец однофазный, параметр кубической ячейки  $a = 4.486 \pm 0.001$  Å, хорошо согласуется с литературными данными,  $V_c = 90.28 \pm 0.06$  Å<sup>3</sup> при T = 297 К. Плотность: 6.22 г/см<sup>3</sup>.

### **Измерения**

Спектрометр Ядерного Резонансного Неупругого Рассеяния ID18 (ESRF, Гренобль, Франция)\*. Измерены спектры рентгеновских фотонов, рассеянных образцом FeSi. Разрешение по энергии 0.53 мэВ и 1 мэВ при вариации давления и температуры соответственно. Время измерения одного спектра ~17 часов.



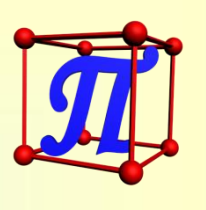
### Условия на образце

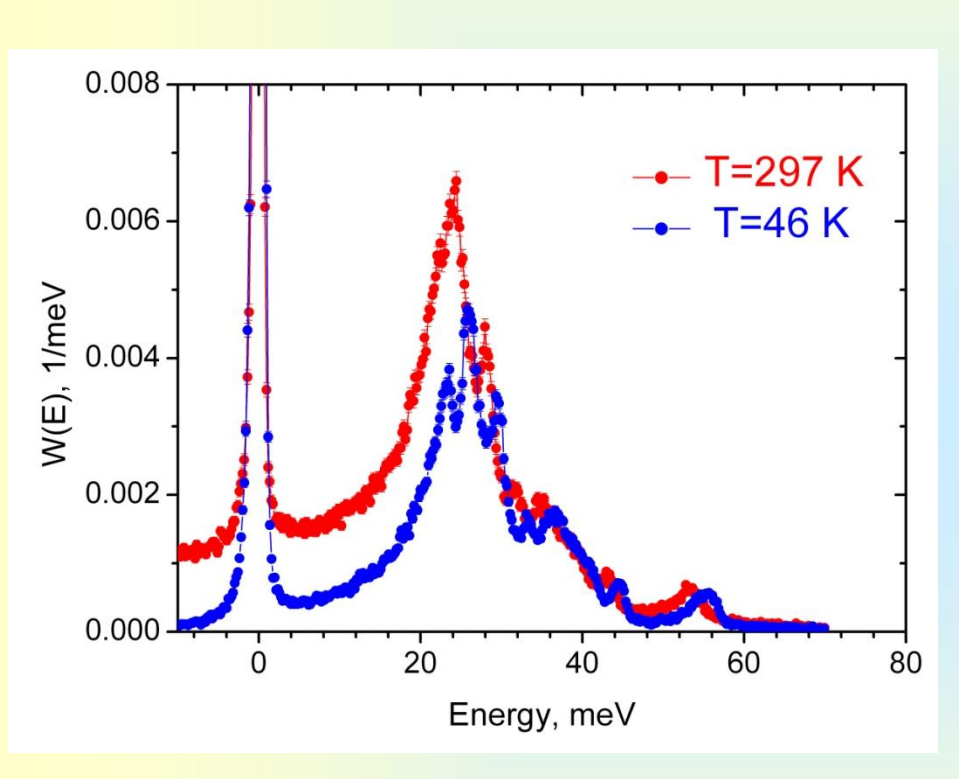


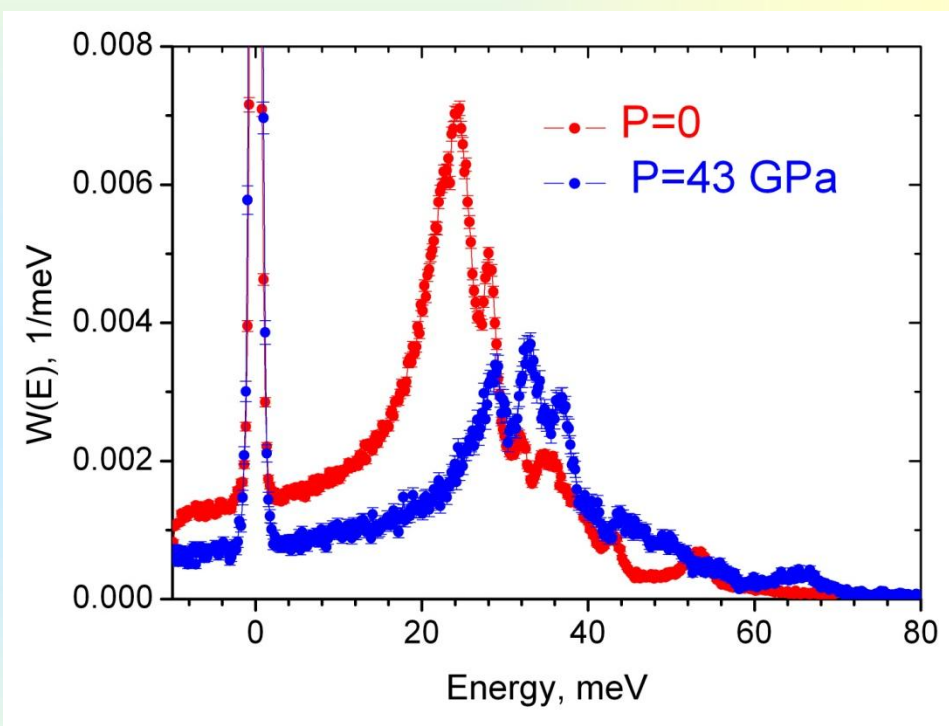
- 1. Криорефрижератор замкнутого цикла с регулировкой температуры в интервале 10 300 К с точностью 0.1 К. Измерения проведены при температурах 46, 103, 153, 180, 205, 253, 297 К (P=0).
- 2. Алмазные наковальни при комнатной температуре. Среда, передающая давление парафин. Определение давления по линии люминисценции рубина до и после измерения спектра. Спектры получены при давлениях 0.49, 0.96, 2.0, 11.9, 21.0, 43 ГПа (Т=297 К).



### Спектры ядерного резонансного рассеяния СИ на моносилициде FeSi



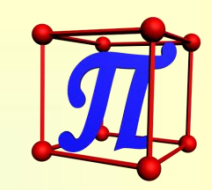


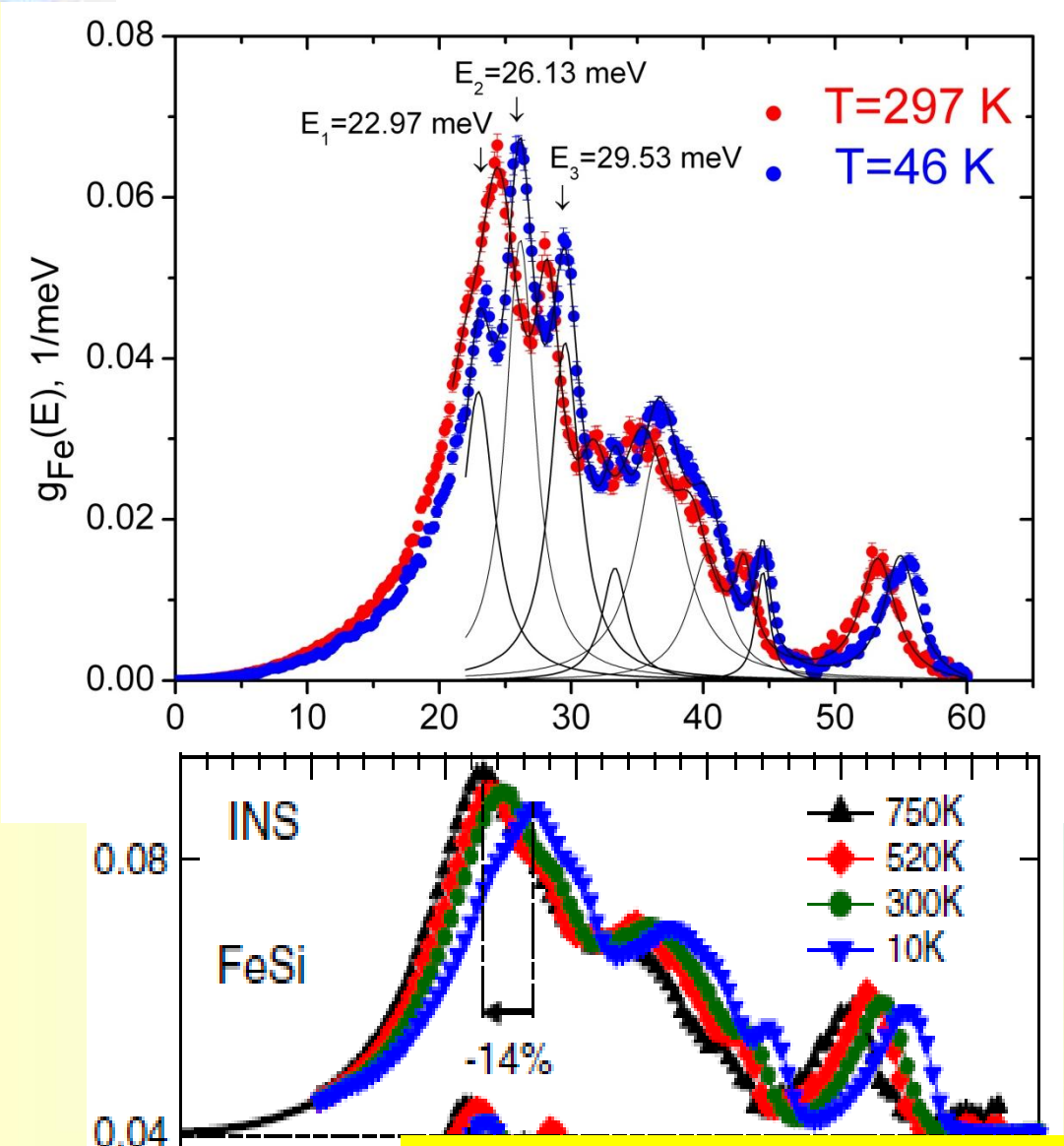


Спектры, измеренные непосредственно в эксперименте. Пик при E=0 Отвечает упругому рассеянию резонансных у-квантов. Область энергий E>0 соответствует процессам рассеяния с рождением фононов.



### Парциальные спектры тепловых колебаний атомов железа в моносилициде FeSi





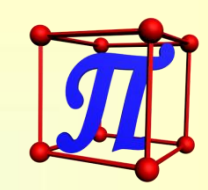
### Наблюдения:

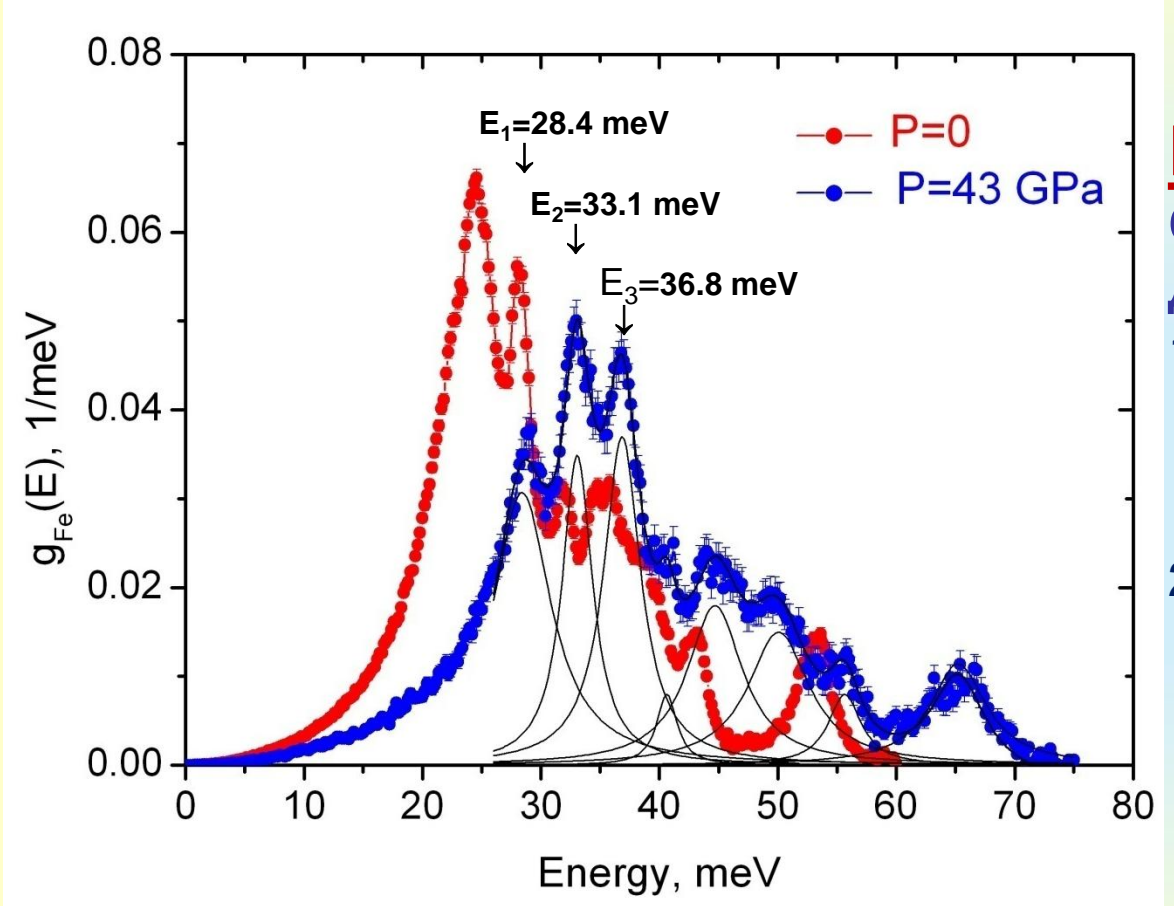
С понижением температуры

- 1. Происходит существенное ужестчение спектра. Все пики смещаются в область больших энергий.
- 2. Первый максимум спектра, связанный с продольными акустическими фононами вблизи границы 3Б и с низко-лежащими оптическими ветвями, расщепляется на 2 пика.



### Парциальные спектры тепловых колебаний атомов железа в моносилициде FeSi





### Наблюдения:

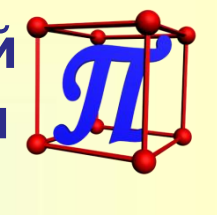
### С повышением давления:

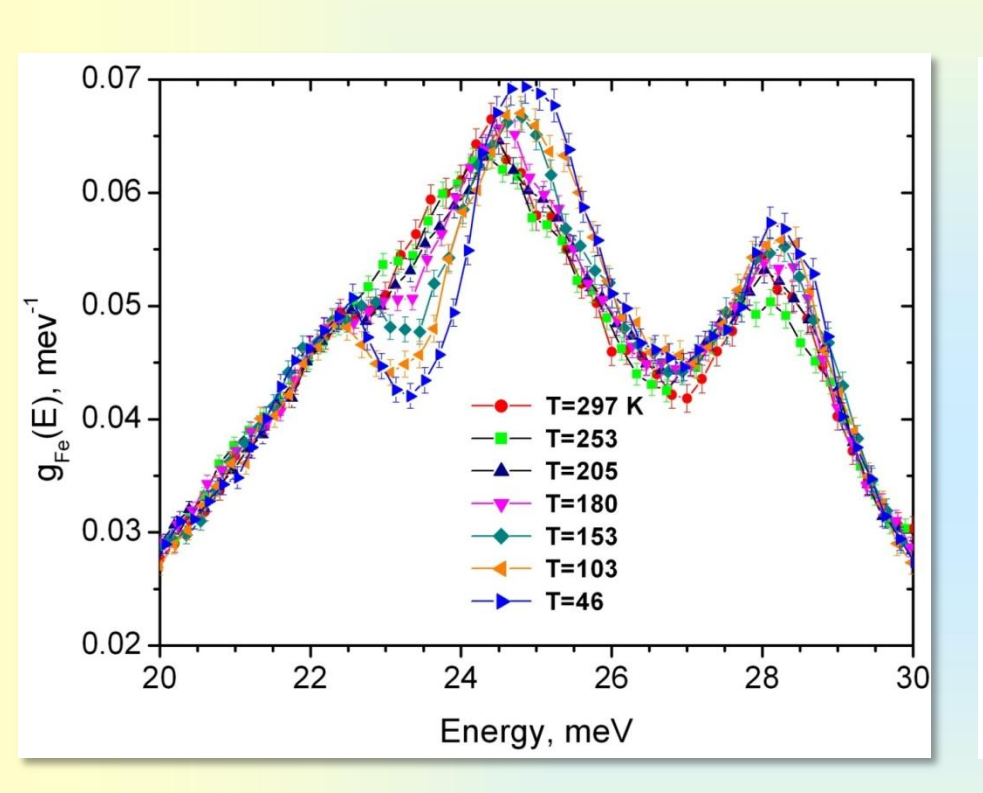
- 1. Происходит существенное ужестчение спектра. Все пики смещаются в область больших энергий.
- 2. Первый максимум спектра расщепляется на 2 пика.

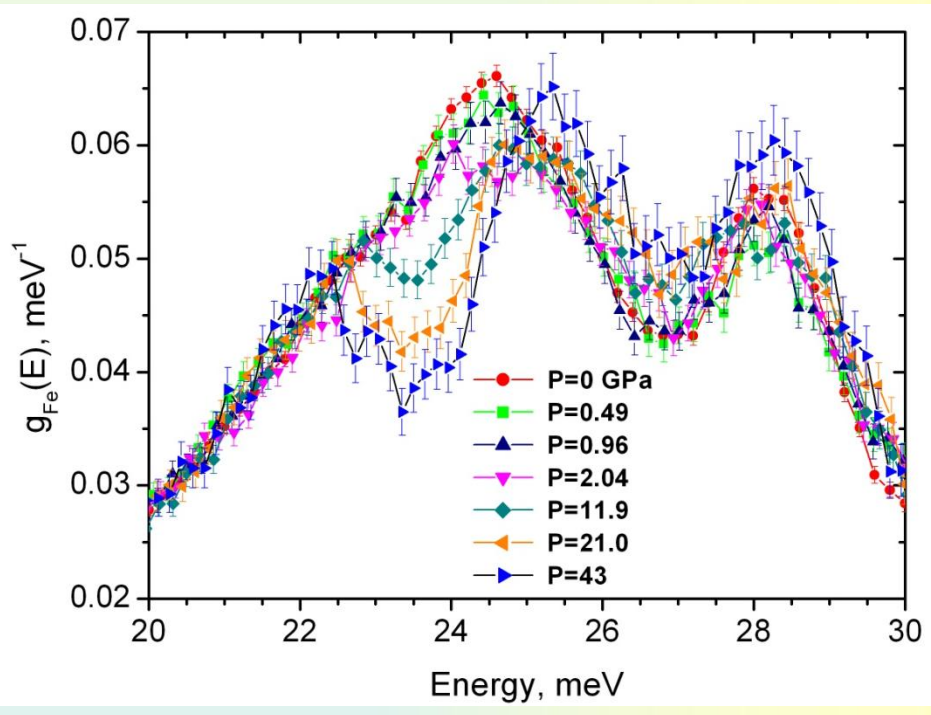
По спектрам рассчитаны температурные и барические зависимости средних термодинамических параметров для атомов железа в FeSi :  $<u^2>$  - средний квадрат тепловых смещений,  $<E_{SP}>$  - средняя по спектру энергия,  $B=M<E^2>/\hbar^2$  - средняя константа силовой связи,  $E_D$  - энергия Дебая соединения.



# Расщепление пиков в спектре тепловых колебаний атомов железа при понижении температуры и при увеличении давления







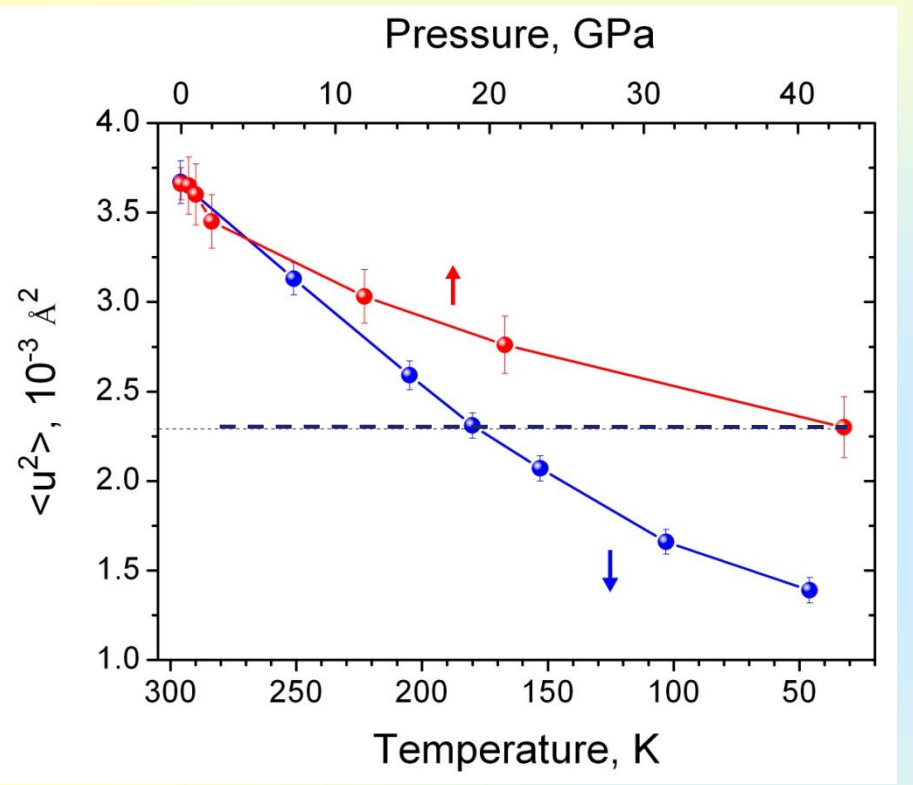
Наблюдения: 1. С понижением температуры и увеличением давления возрастает расщепление первых двух пиков спектра.

- 2. Заметное расщепление пиков начинается при Т=180 К и Р=2.0 ГПа.
- 3. Эффект имеет место при уменьшении объема элементарной ячейки.

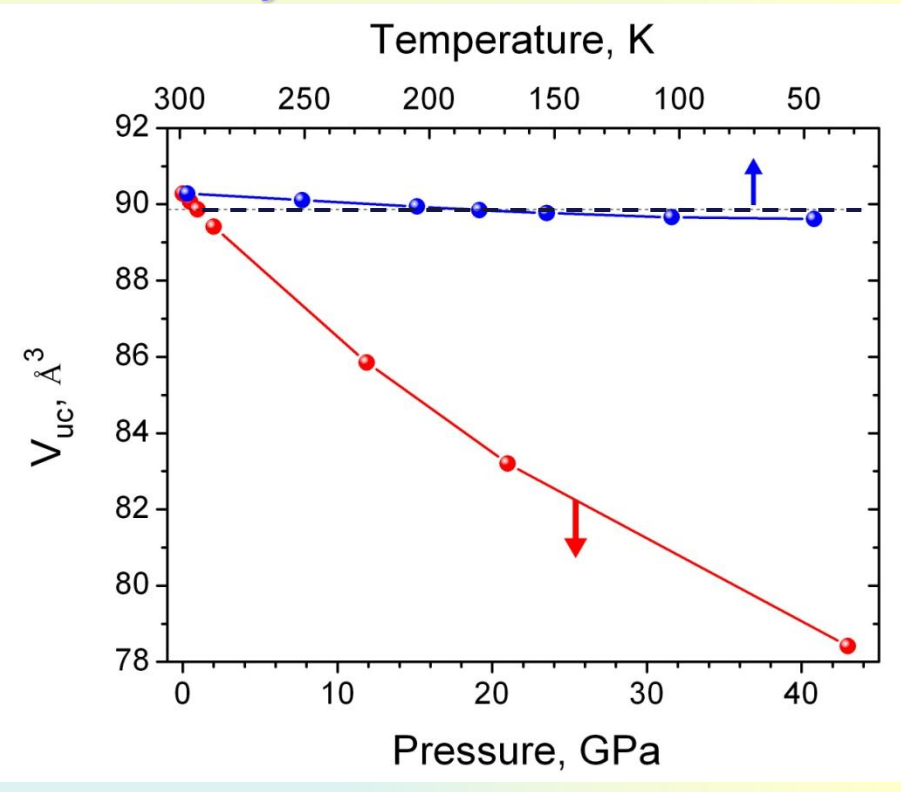
- 1. Установлено, что при увеличении давления или при понижении температуры происходит заметная перестройка спектра колебаний атомов железа, проявляющаяся в расщеплении первого максимума. Величина расщепления существенно зависит от температуры и давления.
- 2. Низкоэнергетические пики в спектре колебаний атомов железа, можно отождествить с вкладом в фононный спектр продольных акустических колебаний и низко лежащих оптических мод.
- 3. Обнаруженный эффект обусловлен изменением дисперсии некоторых из этих ветвей, а следовательно, связан с изменением силового межатомного взаимодействия при понижении температуры или с повышением давления.



#### Тепловые смещения



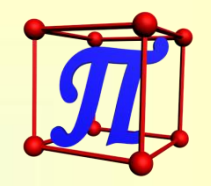
#### Объем кубической ячейки

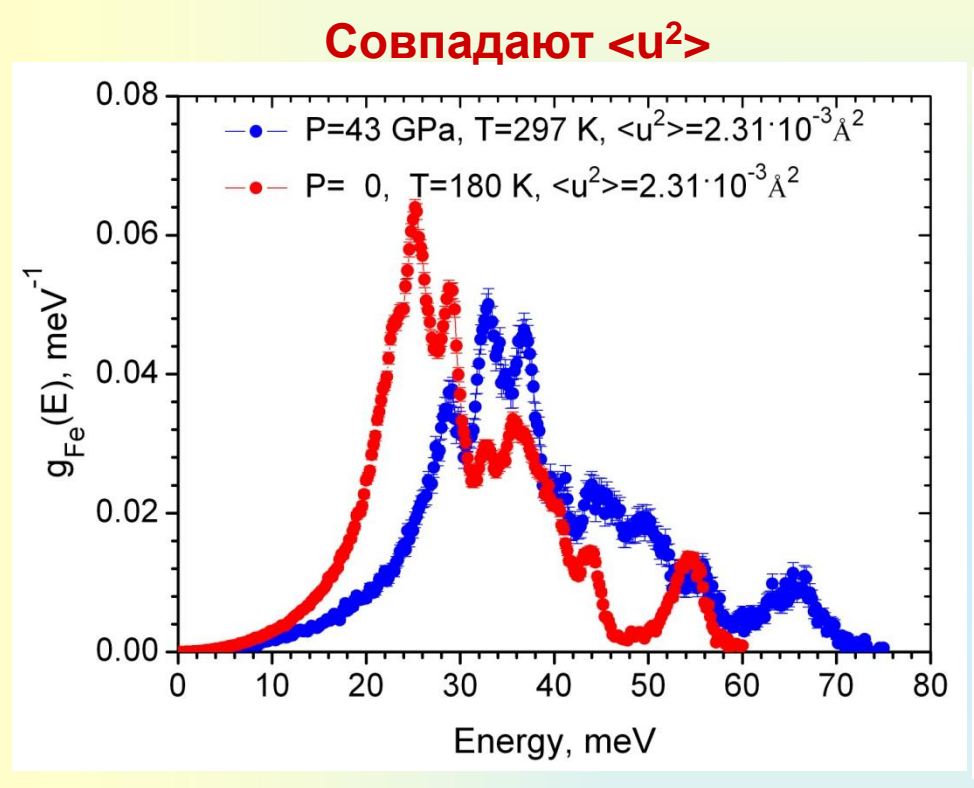


Средний квадрат тепловых смещений атомов железа в FeSi существенно изменяется с температурой и заметно слабее завит от величины давления при комнатной температуре. В тоже время, объем элементарной ячейки уменьшается гораздо сильнее с давлением, чем при понижении температуры.

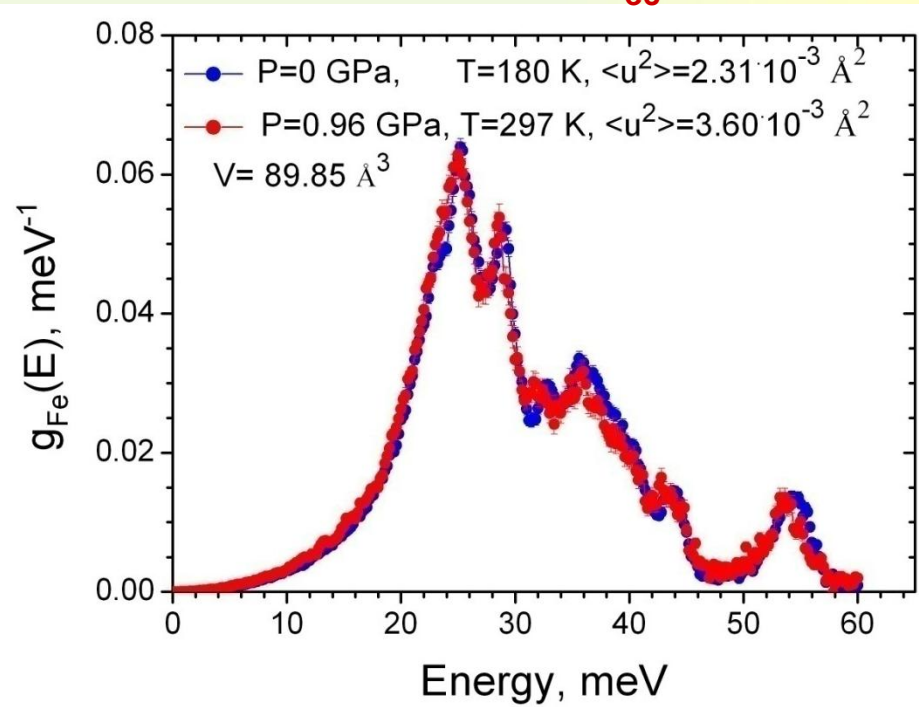


### Парциальные спектры тепловых колебаний атомов железа в моносилициде FeSi





#### Совпадают V<sub>ec</sub>



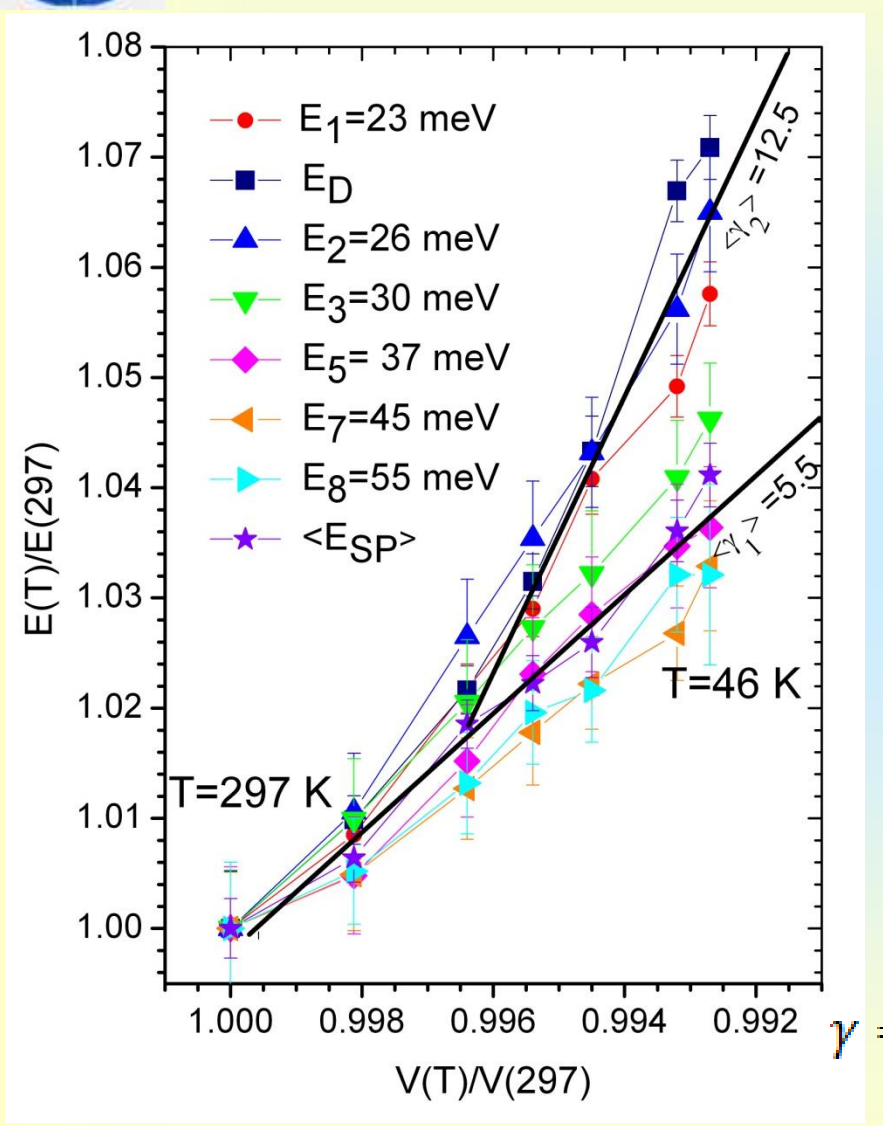
- 1. Спектры, отвечающие условию одинаковых среднеквадратичных тепловых смещений атомов железа (левая панель) существенно различаются.
- 2. Спектры, отвечающие условию одинаковых объемов элементарной ячейки (правая панель) практически одинаковы.



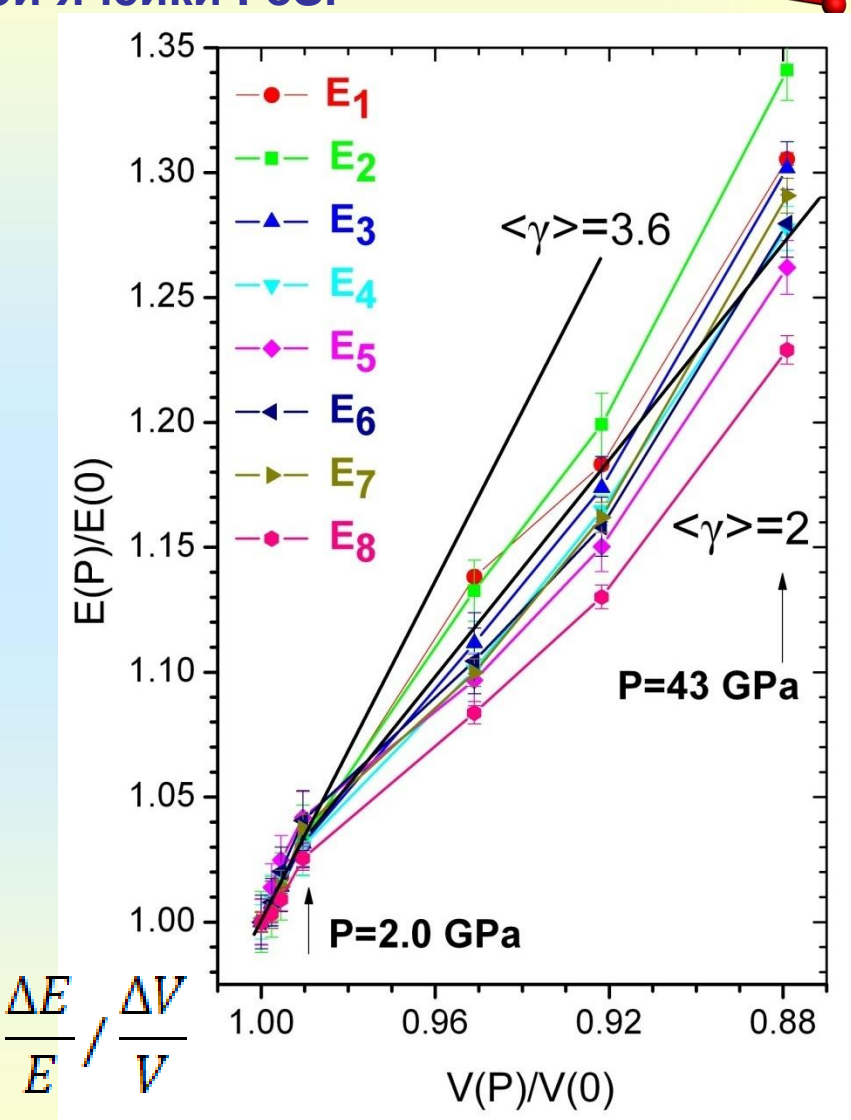
# Зависимости величин относительных характерных энергий спектра колебаний от относительного объема элементарной ячейки FeSi



16



Изменение температуры



Изменение давления

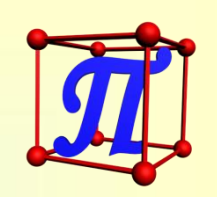


### Заключение



- 1. Показано, что расщепление первого максимума в спектре колебаний никак не коррелирует с величиной теплового смещения атомов железа и, следовательно, установление теплового порядка при понижении температуры не может служить причиной изменения спектра.
- 2. Напротив, изменения спектра колебаний хорошо коррелируют с изменением объема элементарной ячейки: имеет место практически полное совпадение спектров, полученных в условиях, когда объемы элементарных ячеек равны.
- 3. На основе анализа всей совокупности экспериментальных данных установлено, что основной причиной изменений спектра тепловых колебаний атомов железа в FeSi при понижении температуры или при повышении давления является уменьшение объема кубической элементарной ячейки.

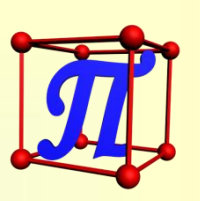


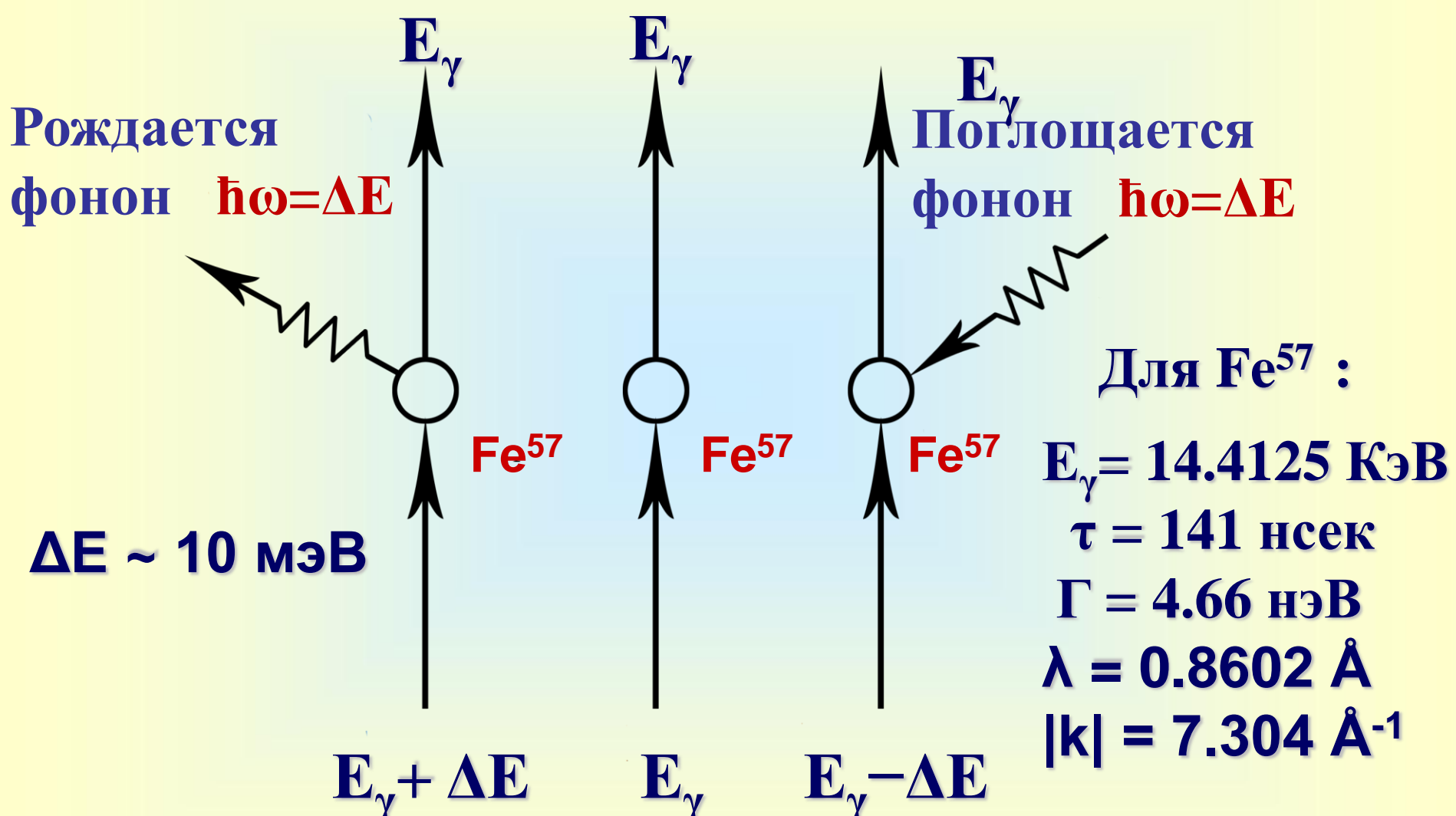


### Благодарю за внимание!



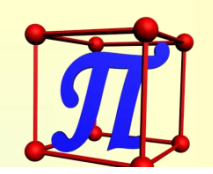
## Ядерное резонансное неупругое рассеяние (ЯРНР) синхротронного излучения

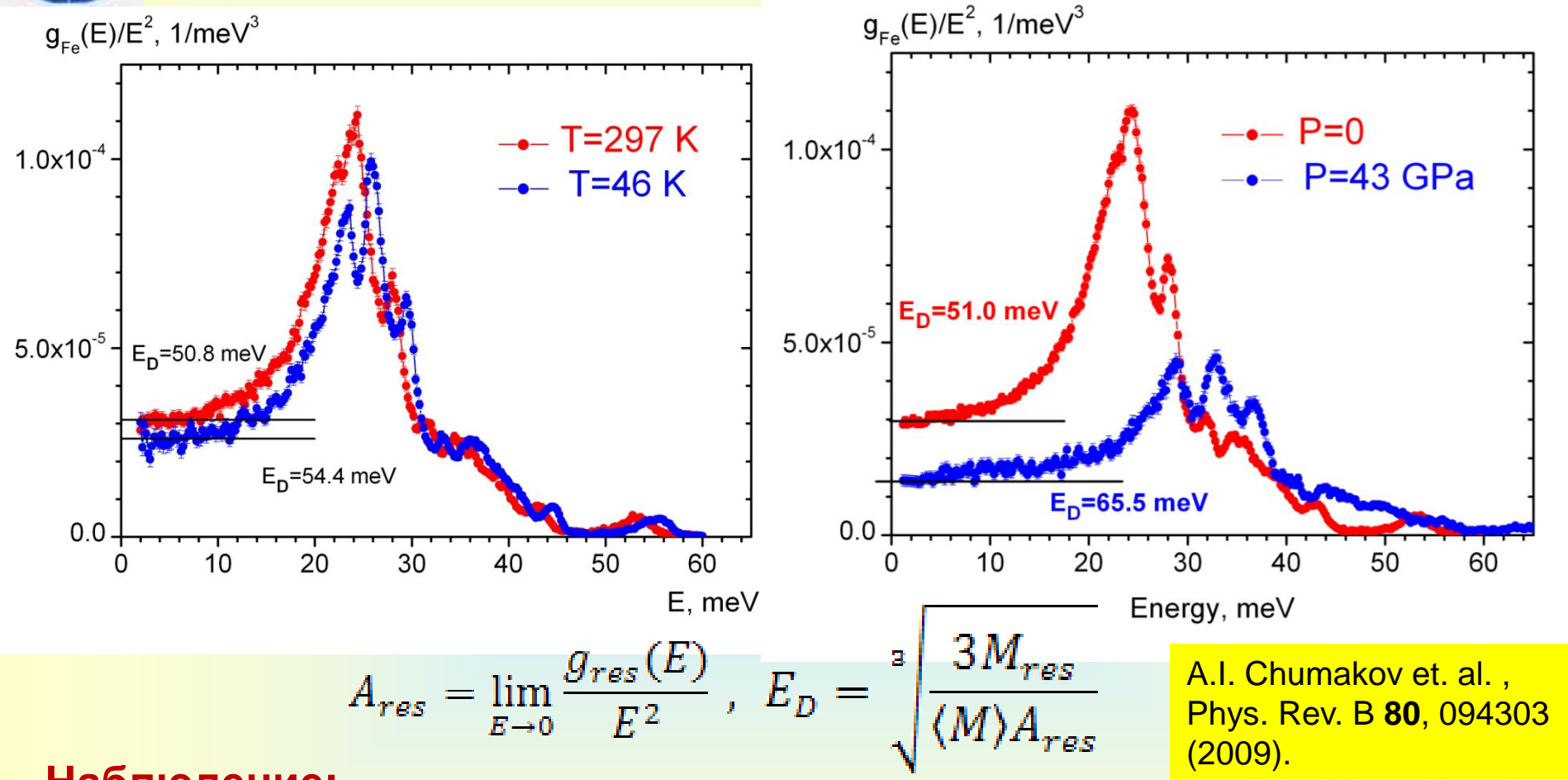






### Приведенные спектры g<sub>Fe</sub>(E)/E<sup>2</sup> для тепловых колебаний атомов железа в моносилициде FeSi





#### <u>Наблюдение</u>:

Во всем исследованном диапазоне температур и давлений низко энергетическая часть спектра колебаний атомов железа при E<5 мэВ хорошо описывается Дебаевским законом.